

지방산 LB막의 온도에 대한 전기전도도 특성

이준호, 김경환, 권영수
동아대학교 전기공학과

Conductivity Characteristic for Temperature of Stearic acid LB films

Jun-Ho Lee, Kyoung-Hwan Kim, Yong-Soo Kwon
Dept. of Electrical Eng., Dong-A Univ.

Abstract - The electrical characteristics of Stearic acid Langmuir-Blodgett(LB) films were investigated to develop the gas sensor using LB films. The deposition status of LB films were verified I-V characteristic which was increased with an applied voltage for the number of layers and decreased as increasing the distance of electrode. The conductivity of Stearic acid LB films was $10^{-8}[\text{S}/\text{cm}]$, which is typical of semiconductor. The conductivity of LB films were increased as the temperature was increased. The activation energy was about 1 [eV].

1. 서 론

가스 센서의 종류는 크게 무기재료와 유기 재료를 이용한 무기물/유기물 가스 센서로 나눌 수 있다. 이중 유기물 가스센서는 분자 설계가 용이하며, 자연성, 유연성, 자유성이 있고 특히 박막화가 가능하며 유기 물질을 분자 단위로 막을 누적하여 고기능, 고효율화로 기능을 부여할 수 있다는 장점을 갖고 있어 많은 연구가 이루어지고 있다[1, 2].

LB법은 분자 단위로 막을 제작할 수 있고 분자의 배향·배열을 자유로이 제어할 수 있는 장점으로 가스 센서에 대한 연구에 많이 활용되고 있다[3].

본 논문에서는 stearic acid를 LB막으로 제작하여 가스 센서로 응용하기 위하여 전극 간격을 500, 1000, 1500, 및 2000 $[\mu\text{m}]$ 로 각각 제작하여 LB막을 누적하여 LB막의 충수에 대한 전기적 특성과 온도 변화에 대한 전기적 특성을 조사하였다.

2. 시료 및 실험방법

본 실험에서는 LB막의 누적이 용이한 것으로 알려져 있는 Stearic acid를 시료로 하여 LB막을 제작하였다. Stearic acid의 분자식은 $\text{CH}_3(\text{CH})_{16}\text{COOH}$ 이고, 분자량은 284.48[g]이며, 용점과 비점은 각각 70.5, 283[°C]이다. 클로로포름을 용매로 사용하여 1[mmol/l]의 농도로 만들었다. LB막을 누적하기 위한 기판은 현미경용 slide-glass로서 아세톤과 증류수로 초음파 세척하여 친수성 처리하였다. 그림 1은 전극의 구조 및 실험 장치도로서 전극은 6×10^{-5} [Torr]의 진공도에서 유리기판에 Al을 진공 증착하여 제작하였으며, 전극 간격을 500, 1000, 1500, 2000 $[\mu\text{m}]$ 로 제작하였다. LB막은 NLE사의 moving wall type 장치를 사용하여 누적하였다. 또한, I-V 특성은 Keithley 6517 electrometer를 사용하여 측정하였으며, 인가 전압은 DC power supply를 사용하여 직류 전압을 인가하였다. 반응셀의 내부의 온도는 circulator를 이용하여 제어하였으며, 열전대를 이용한 Thermometer로 확인하였다.

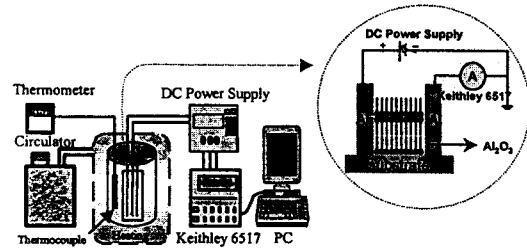


그림 1. 실험 장치도.

3. 결과 및 검토

그림 2는 LB막의 I-V 특성으로서 그림 1의 측정 회로를 사용하여 LB막에 1[V]씩 직류 전압을 인가시키면서 전류가 안정될 때의 값을 나타낸 것이다.

그림 2(a)는 11층 누적한 Stearic acid LB막을 각각의 서로 다른 전극 간격에 대하여 전압-전류 특성을 나타낸 것이다. 각 인가 전압에 따라 전극 간격이 줌을 수록 전류가 증가함을 알 수 있었다. 이러한 현상은 전극 간격이 줌을 수록 전극 사이의 거리에 비례하여 저항이 감소되는 것을 의미하는 것으로 다른 충수에 대해서도 동일한 현상을 얻었다.

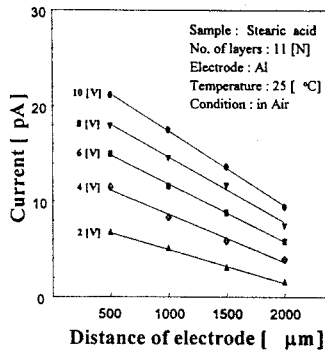
그림 2(b)는 2000 $[\mu\text{m}]$ 간격의 전극 사이에 LB막을 누적시킨 후 누적 충수에 대한 각 전압에 따른 전류 특성을 나타낸다. 그림에서 직류 전압을 인가하였을 때 LB막의 누적 충수가 증가할수록 전류가 선형적으로 증가함을 알 수 있었다. 이것으로서 LB막이 양호하게 형성되었음을 확인할 수가 있다. 이러한 현상이 일어나는 이유는 LB막의 누적 충수가 증가함에 따라 충수와 비례하게 전극 면적이 증가되기 때문으로 생각된다.

그림 2(b)의 I-V 특성의 기울기로부터 LB막의 저항 R_N 을 구하면 전기전도도 σ 는 식 (1)에 의하여 구할 수 있다.[4]

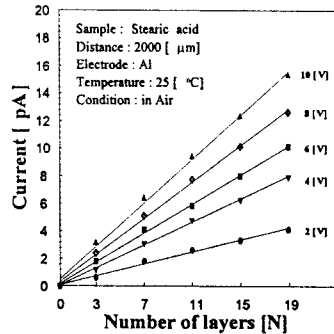
$$\sigma = \frac{d_{el}}{R_N \cdot S_0 \cdot N} \quad (1)$$

여기서, d_{el} 은 전극간의 거리이며, S_0 은 LB막의 전극 면적으로 1충당 면적은 약 $4.5 \times 10^{-7}[\text{cm}^2]$ 이었다.

그림 3은 식 (1)에 의하여 구한 Stearic acid LB막의 전기전도도를 누적 충수에 대하여 나타낸 것이다. 그림에서 LB막의 누적 충수가 증가하더라도 전기전도도가 일정함을 알 수 있었으며, 이는 LB막의 누적이 양호하게 되었음을 의미하는 것이다. 그리고 수평방향 LB막의 전기전도도는 약 $10^{-8}[\text{S}/\text{cm}]$ 로서, 수직 방향 LB막의 전기전도도인 $10^{-14}[\text{S}/\text{cm}]$ 과는 $10^6[\text{S}/\text{cm}]$ 정도의 차이를 나타내었으며, 반도전성 물질에 상당한 크기였다.[5]



(a) LB막의 전극 간격에 따른 전압-전류 특성



(b) LB막의 누적 층수에 따른 전압-전류 특성

그림 2. Stearic acid LB막의 전기적 특성

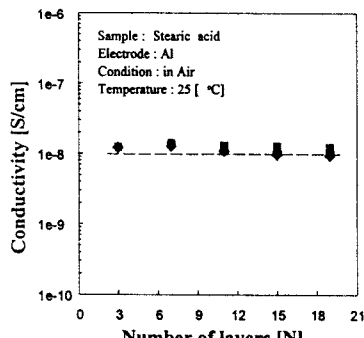


그림 3. Stearic acid LB막의 전기전도 특성.

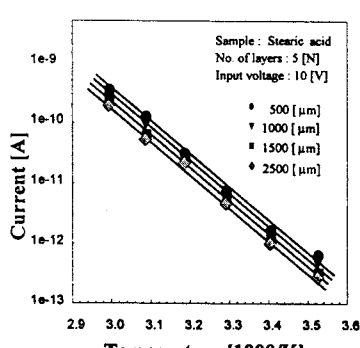


그림 4. Stearic acid LB 막의 온도-전류 특성.

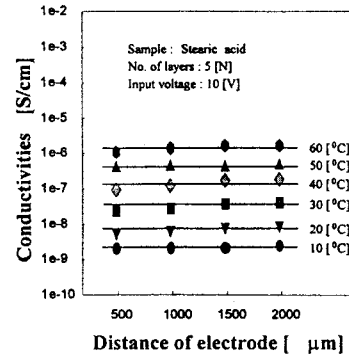


그림 5. Stearic acid LB막의 온도-전기전도 특성.

그림 4는 각 전극 간격에 대한 Stearic acid LB막의 온도 변화에 대한 전류 특성을 나타낸 것이다. 온도가 증가할수록 전류가 선형적으로 증가함을 알 수 있었다.

활성화 에너지는 식(2)의 전류와 절대온도의 역수의 관계로부터 알 수 있다.

$$I \propto Ae^{-E_a/kT} \quad (2)$$

여기서 E_a : 활성화 에너지, k : 볼츠만 상수, T : 절대온도

그림 4의 기울기로부터 구한 활성화 에너지는 약 1[eV] 정도였다.

그림 5은 식(1)을 이용하여 각 온도에 대한 전기전도 특성을 나타낸 것이다. 그림에서 온도가 증가함에 따라 전기전도도가 증가함을 알 수 있었다.

4. 결 론

Stearic acid LB막을 제작하여 누적 층수와 온도에 대한 전기적 특성을 측정하여 다음과 같은 결과를 얻었다. Stearic acid LB막의 누적 층수와 전극 간격에 따른 I-V 특성을 측정하여 인가 전압에 따라 누적 층수가 증가할수록, 전극 간격이 증가할수록 전류가 선형적으로 증가하였으며 전기전도도가 층수에 대하여 일정함으로써 누적이 양호하게 되었음을 확인할 수 있었다. 전기전도도는 약 10^{-8} [S/cm]로서 반도전성 물질에 상당한 크기이었다. 또한, 각 전극 간격에서의 온도에 따른 전류 및 전기전도도 특성을 측정하여 LB막이 온도가 증가함에 따라 전류 및 전기전도도가 증가하는 것을 확인할 수 있었다. 이때의 활성화 에너지가 약 1[eV]이었다.

본 연구는 한국과학재단 연구비(과제번호 : 97-01-01-07-01-5)의 지원에 의해서 수행되었음

[참 고 문 헌]

- [1] H. Meixner, Sensor, Vol.8, pp.3, 1995.
- [2] W. Göpel, "Solid-state chemical sensors : atomistic models and research trends", Sensors and Actuators, Vol.16, pp.167-193, 1989.
- [3] 홍명호, 임병국, "센서 일렉트로닉스", 大光書林, pp.23-24, 1995.
- [4] 강도열, 권영수, 강훈, 최명규, 김재호, "LB초박막의 누적 기술과 이방성 전기전도", 전기학회논문지, 40권, 1호, pp.82-90, 1991.
- [5] D. K. Kim, Y. S. Choi, Y. S. Kwon and J. S. Chang, "Study on Electrical Properties for Horizontal Direction of Fatty Acid LB Films", Journal of the Korean Physical Society, Vol.32, pp.S1817-1819, 1998.